

- чного испарения катодов при импульсном униполярном разряде в газе // Физика и химия обработки материалов.— 1989.— № 1.
5. Гольдштик М. А., Жданова Е. М., Штерн В. Н. Возникновение вращательного движения в результате гидродинамической неустойчивости // Изв. АН СССР. МЖГ.— 1985.— № 5.
6. Кесаев П. Г. Катодные процессы электрической дуги.— М.: Наука, 1968.

г. Москва

Поступила 21/XII 1988 г.

УДК 541.124.16:541.12.037

Ю. Н. Сухушин, И. Г. Ханефт

ЭЛЕКТРИЧЕСКИЙ ПРОБОЙ В ПЕРХЛОРАТЕ АММОНИЯ

Исследование электрического пробоя термодинамически лабильных веществ (веществ, разлагающихся при внешних воздействиях с экзотермическим эффектом) представляет большой интерес, поскольку носители заряда могут в них вступать в химическое взаимодействие, приводящее к распаду материала, минуя стадию преобразования электрической энергии в тепло [1, 2]. Не исключено также, что в результате химических превращений, инициируемых носителями заряда, образуются дополнительные электроны или дырки, поддерживающие проводимость в процессе пробоя или на предпробивных стадиях. Ранее при исследовании электрического инициирования азидов тяжелых металлов [3—6] показано, что в зависимости от макроскопических параметров (плотность ρ , межэлектродное расстояние L) могут осуществляться три различных по электрофизической природе процесса: разряд между зернами поликристаллического материала, микроразряды в порах и непосредственный электрический пробой, сопряженный с экзотермической реакцией распада. Перхлорат аммония (ПХА) — известный представитель класса термодинамически лабильных твердых веществ [7], существенно отличающийся от азидов по природе проводимости и реакций распада [8].

Целью настоящей работы является исследование феноменологии нарушения электрической прочности в монокристаллах и поликристаллических прессованных образцах ПХА на уровне выделения макроскопических стадий.

1. Для исследования использовался поликристаллический порошок ПХА марки ХЧ с гранулометрическим составом, характеризующимся максимумом распределения с размером частиц 30 мкм. Образцы поликристаллического материала приготавливались прессованием порошка на полированную поверхность закаленного ролика (сталь ШХ-15) в оболочку из полиметилметакрилата. К свободной поверхности таблетки прижималась с постоянным усилием, не деформирующим образец, 1/4-сферический электрод из того же материала. Предварительными экспериментами было показано, что введение защитной среды между поверхностью таблетки и 1/4-сферическим электродом не влияет на величину пробивного напряжения и ее зависимость от межэлектродного расстояния, что свидетельствует об отсутствии скользящих разрядов, и в дальнейшем защитная среда не применялась. При отработке методики было установлено, что прессование образцов, во-первых, сопровождается их сильным электростатическим заряжением, а во-вторых, приводит к коррозии материала электродов. Время, достаточное для разрядки образцов и не приводящее к появлению коррозии, составляет 3—5 ч, по истечении которого и проводилось определение электрической прочности.

Монокристаллы размещались под микроскопом в кондукторе типа [9], в них высверливались лунки диаметром 0,7 мм до необходимого межэлектродного расстояния. Насыщенный раствор ПХА в лунках служил электродом. Поляризационная микроскопия показала, что остаточных механических напряжений в межэлектродном промежутке монокристаллического образца нет. Пробивное напряжение определялось на фронте импульса напряжения амплитудой 10 кВ и длительностью фронта 1,5 мкс.

2. Исследовалась зависимость пробивного напряжения монокристаллов и поликристаллических образцов ПХА от межэлектродного расстояния в пределах 100—900 мкм, причем для прессованных образцов при

различной плотности — от близкой к монокристаллической ($1,95 \text{ г}/\text{см}^3$) до практически насыпной ($1,3 \text{ г}/\text{см}^3$). Исходная совокупность экспериментальных данных представлена на рис. 1 в виде зависимости пробивного напряжения от плотности образцов при различной величине межэлектродного расстояния ($l—6 — L = 0,09; 0,07; 0,05; 0,03; 0,02; 0,01 \text{ см}$). На рис. 2 показана зависимость электрической прочности от величины межэлектродного расстояния: a — при различной плотности поликристаллических образцов ($l—7 — \rho = 1,3; 1,4; 1,5; 1,6; 1,7; 1,8; 1,95 \text{ г}/\text{см}^3$), b — при плотности $1,95 \text{ г}/\text{см}^3$ для поликристаллических образцов (I) и для монокристаллов (II). Обнаруживается, что при пробое монокристаллов имеет место типичное при пробое диэлектриков электрическое упрочнение — увеличение электрической прочности с уменьшением межэлектродного расстояния в области толщин, меньших 400 мкм. При пробое же поликристаллических образцов наряду с упрочнением наблюдается увеличение электрической прочности с ростом межэлектродного расстояния — эффект, обратный упрочнению. Отметим также, что при пробое ПХА отсутствует выявленная при исследовании макроскопических закономерностей электроимпульсного инициирования и пробоя азидов тяжелых металлов закономерность, являющаяся аналогом закона Пашена в твердом теле [2], — однозначное соответствие между пробивным напряжением и произведением плотности на величину межэлектродного расстояния. Рассмотрим описанную совокупность результатов с качественной точки зрения.

Эффект электрического упрочнения широко известен в физике пробоя твердых диэлектриков, и наиболее сложившееся объяснение его заключается в пространственном ограничении лавин носителей заряда, осуществляющих электрическую форму пробоя [9, 10]. Другие виды объяснения, связанные с учетом увеличения макроскопических дефектов с увеличением толщины, в нашем случае можно не принимать во внимание, поскольку макроскопическая дефектность в настоящем исследовании варьировалась в широких пределах изменением плотности образца. Возможность развития лавин носителей заряда в пористых системах ранее, по-видимому, не рассматривалась, однако принципиальных ограничений для этого процесса мы не видим, поскольку носители заряда, получившие избыточную энергию при движении в кристалле, должны сохранить ее при прохождении поры, так как эффективность рассеяния электронов в газах меньше, чем в твердых телах, если не учитывать рассеяние на поверхностных дефектах, которое зависит от величины приповерхностного загиба зон

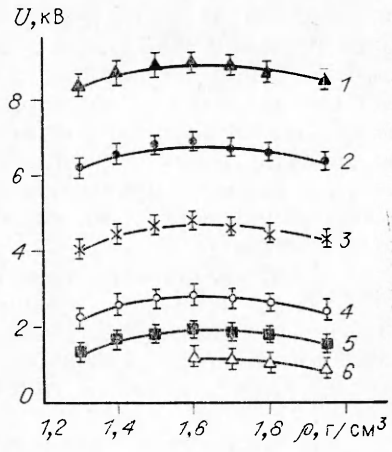


Рис. 1

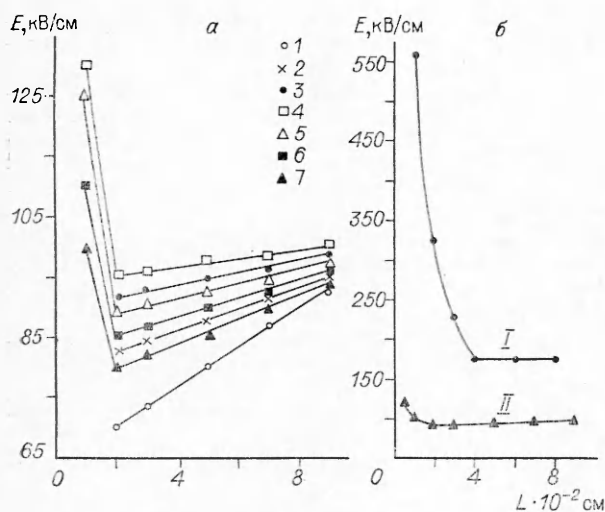


Рис. 2

и его знака. В последнем случае имеем последовательное прохождение электроном двух барьеров, относящихся к контактирующим кристаллам, в одном из которых поле приповерхностного загиба зон направлено параллельно внешнему, а в другом — антипараллельно, и в первом приближении их эффекты можно рассматривать как компенсирующиеся. Таким образом, полученные экспериментальные данные по электрическому упрочнению ПХА не противоречат гипотезе лавинного размножения как процесса, ответственного за электрический пробой в этом материале.

Эффект «обратного упрочнения» известен при пробое тонких слоев [11]. В нашем случае природа этого объемного заряда, по-видимому, связана с межфазными границами, так как усиливается с увеличением пористости образца (уменьшением плотности). При локализации зарядов на межфазных границах имеем дело с локализованным объемным зарядом.

Что касается влияния плотности на пробой поликристаллических прессованных образцов ПХА, то характер этой зависимости противоположен известным в термодинамически лабильных системах [2, 5, 6]. Однако ранее, при рассмотрении влияния плотности на электрическую прочность поликристаллических прессованных образцов азота свинца, проанализирован случай пробоя низкопрочной твердой фазы, приводящего к инициированию всего образца [2]:

$$E_{\text{пр}} = E_1[(1/f - 1)p + 1]e^{-\alpha L},$$

где E_1 — электрическая прочность реакционноспособной фазы; p — пористость; f — отношение поверхности поры к поверхности кристалла; α — коэффициент ударной ионизации; L — величина межэлектродного расстояния. В этом случае с увеличением пористости электрическая прочность возрастает вследствие дополнительного падения напряжения на поре. В образцах же с плотностью меньше 1,6 г/см³ пробой происходит за счет микроразрядов в порах, т. е. электрическая прочность уменьшается при уменьшении плотности образца. Рассматривая оба процесса, можно объяснить экстремальный характер пробоя от плотности.

Таким образом, электроимпульсный пробой ПХА — процесс, связанный с развитием лавин неравновесных носителей, ограниченных полем объемного заряда.

ЛИТЕРАТУРА

- Сухушин Ю. И., Захаров Ю. А. Общие закономерности разложения твердых веществ в электрическом поле // Кинетика и механизм химических реакций в твердом теле. — Черноголовка: ИХФ АН СССР, 1981.
- Сухушин Ю. И., Захаров Ю. А., Раппопорт Г. А. Исследование некоторых макроскопических закономерностей электрического пробоя азота свинца // Изв. Том. политехн. ин-та. — 1970. — Т. 251.
- Сухушин Ю. И., Захаров Ю. А. О механизме возбуждения быстрых реакций электромагнитными импульсами // Тр. I конф. молодых ученых-химиков г. Томска. — Томск: Изд-во Том. ун-та, 1970.
- Сухушин Ю. И., Субанов С. Д. Макроскопические закономерности электрического пробоя и возбуждения детонации в поликристаллическом PbN₆ // Межвуз. сб. науч. тр. / Кем. ун-т. — Кемерово, 1981.
- Стеньгач В. В. Об электрической прочности PbN₆ // ПМТФ. — 1972. — № 1.
- Стеньгач В. В. Зависимость электрической прочности прессованных кристаллических порошков от коэффициента заполнения и диэлектрической проницаемости кристаллов // ПМТФ. — 1975. — № 2.
- Шумахер И. Перхлораты. Свойства, производство и применение. — М.: Госхимиздат, 1963.
- Болдырев В. В. О некоторых особенностях механизма реакции термического распада // Кинетика и катализ. — 1967. — Вып. 8, № 5.
- Воробьев А. А., Воробьев Г. А. Электрический пробой и разрушение твердых диэлектриков. — М.: Высш. шк., 1966.

10. Сканави Г. И. Физика диэлектриков (область сильных полей).— М.: Физматиздат, 1958.
11. Карасев В. И., Коробов А. И., Абалмазова М. Г. О возможном влиянии объемного заряда на зависимость электрической прочности от толщины диэлектрика // Радиотехника и электроника.— 1971.— Т. 16, № 3.

г. Кемерово

Поступила 18/VII 1988 г.,
в окончательном варианте — 23/I 1989 г.

УДК 533.6.011.72

Б. И. Заславский, С. Ю. Морозкин, А. А. Прокофьев, В. Р. Шлегель

ОБ ОБТЕКАНИИ ТЕРМИКА, ПРИМЫКАЮЩЕГО К ЖЕСТКОЙ СТЕНКЕ, ПЛОСКОЙ УДАРНОЙ ВОЛНОЙ

Изучению волновой структуры течения, возникающего при взаимодействии плоской ударной волны (УВ) с жесткой стенкой, покрытой слоем низкоплотностного газа, посвящены работы [1—9]; в них исследуется случай скользящего движения УВ вдоль стенки. Наиболее полно проблема изложена в [6, 9], где приведены результаты численных расчетов на ЭВМ полей плотности и давления за возмущенной частью фронта УВ при начальных параметрах $M_1 = 2$, $\rho_Q/\rho_0 = 1/3$ [6]; $M_1 = 32$, $\rho_Q/\rho_0 = 1/3$ [9] (M_1 — число Маха УВ, ρ_Q/ρ_0 — отношение плотностей среды в слое и вне слоя).

Ранее в [4] в такой же постановке проведены расчеты для $M_1 = 1,44$, $M_1 = 1,33$ и дано сравнение полученных на основе расчета волновых картин с экспериментальными результатами — теплеровскими фотографиями волновых картин соответствующих движений. В [8] этот процесс взаимодействия экспериментально исследовался в широком диапазоне параметров M_1 и ρ_Q/ρ_0 . Несколько иная задача рассматривалась в [5, 7, 8], где изучалось движение УВ вдоль внезапно нагретой поверхности. При этом к отражающей поверхности примыкает тонкий слой нагретого газа, но в отличие от [4, 6, 8, 9] слой неоднороден, поскольку неравномерно нагрет; отсутствует скачок плотности.

В настоящей работе приводятся результаты экспериментального исследования процесса взаимодействия плоской УВ с пристеночным слоем низкоплотностного газа (пристеночный термик) в широком диапазоне углов падения фронта УВ на отражающую поверхность, плотностей пристеночных слоев и интенсивностей УВ. Приводятся также результаты теоретического анализа волновой структуры, возникающей при таком взаимодействии.

1. Пусть плоская бесконечно длинная УВ движется со скоростью N_1 в полупространстве $y > -xtg \alpha$ (рис. 1, a), заполненном газом с начальной плотностью ρ_0 , давлением p_0 , температурой T_0 и начальной скоростью звука c_0 . За фронтом УВ давление p_1 , скорость частиц q_1 . Для дальнейшего удобно ввести безразмерный параметр $\varepsilon_1 = (p_1 - p_0)/np_0$ (n — показатель адиабаты). Как известно [10],

$$(1.1) \quad N_1 = c_0 \sqrt{1 + \frac{n+1}{2} \varepsilon_1}, \quad q_1 = c_0 \varepsilon_1 \sqrt{1 + \frac{n+1}{2} \varepsilon_1}.$$

На оси $x = 0$, $y = 0$ плоскость $y = -xtg \alpha$ пересекается с жесткой стенкой S (полуплоскость $y = 0$, $x > 0$). В момент прихода ударного фронта в точку d ($t = 0$) над S внезапно возникает термик — слой Q (dd_1d_2 , см. рис. 1) газа с $\rho_Q < \rho_0$, p_0 и $c_0 > c_0$ со свободными границами dd_1 и d_1d_2 . Уравнения этих поверхностей при $t = 0$ имеют вид $y = xctg \alpha$, $y = h$, $x > h \operatorname{tg} \alpha$.

Рассматривается движение при $t > 0$. В момент соприкосновения ударного фронта с поверхностью раздела dd_1 последняя становится поверхностью разрыва двух состояний. Распад такого произвольного разрыва приводит к возникновению волны разрежения во внешнем газе и УВ — предвестнику [1—3, 5, 6], опережающей фронт основной волны, в слое Q . Параметры этих волн в начальный момент времени для различных значений c_Q/c_0 и ε_1 могут быть определены методом диаграммы $p — q$ [10], пользуясь которым и учитывая, что на линии контактного разрыва